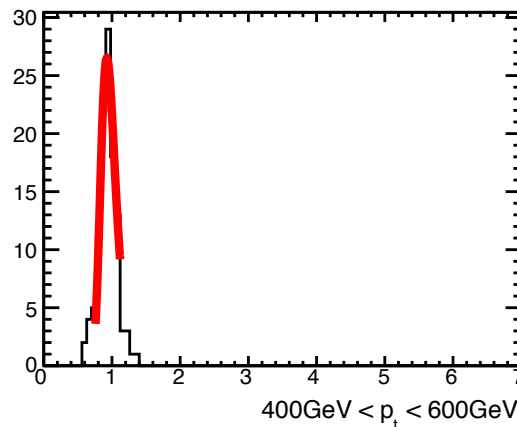
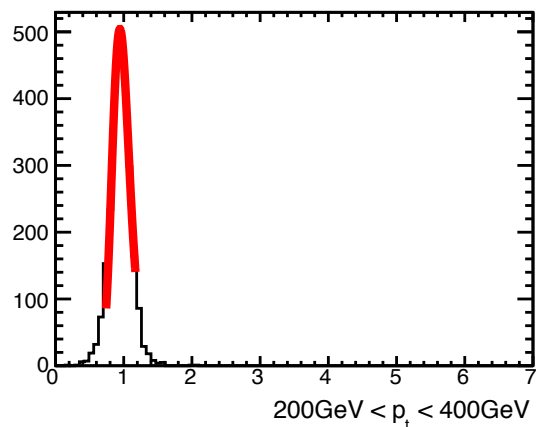
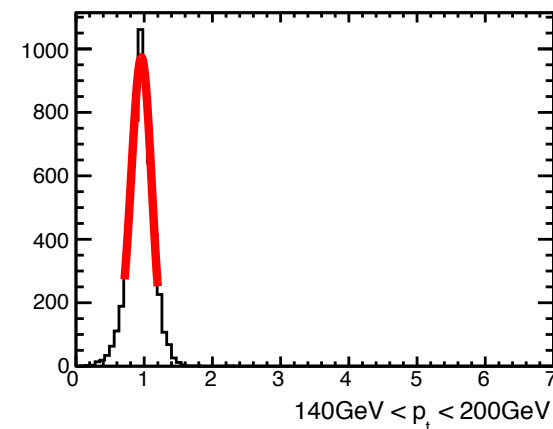
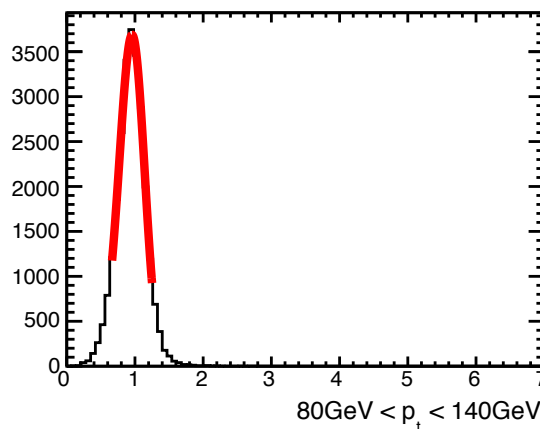
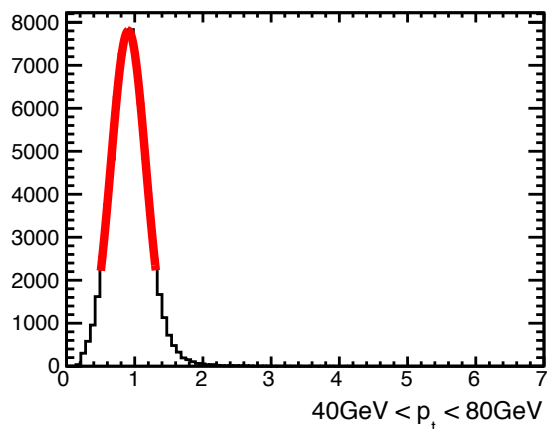
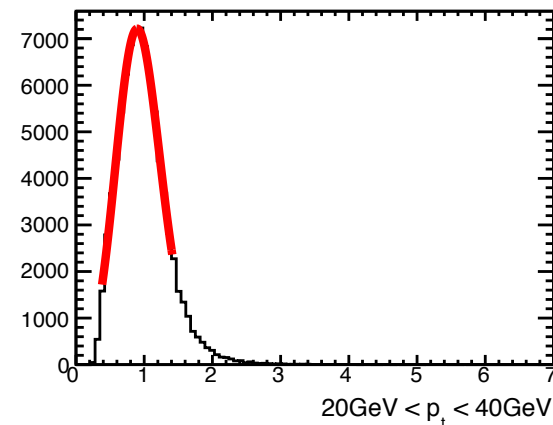
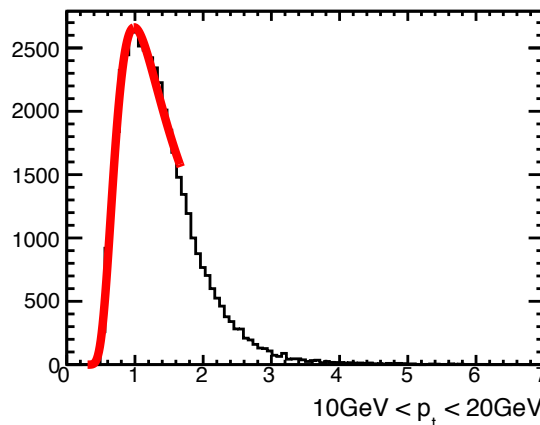
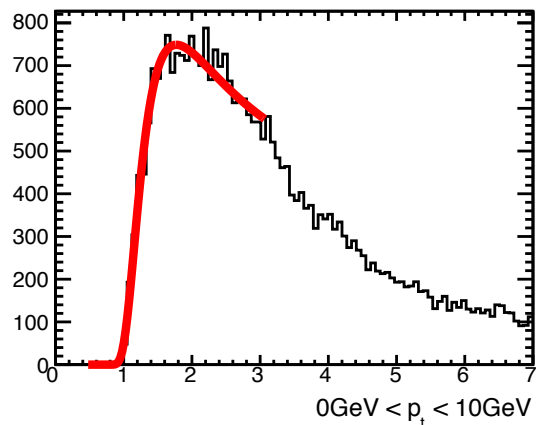


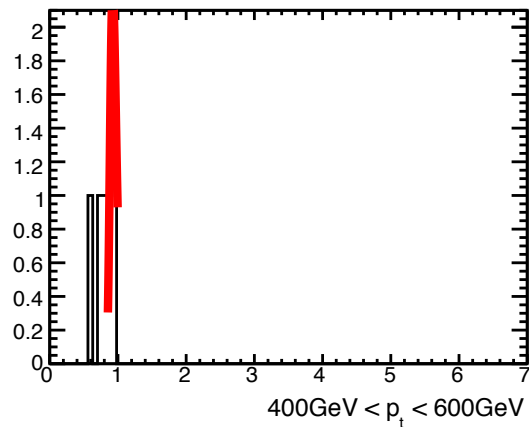
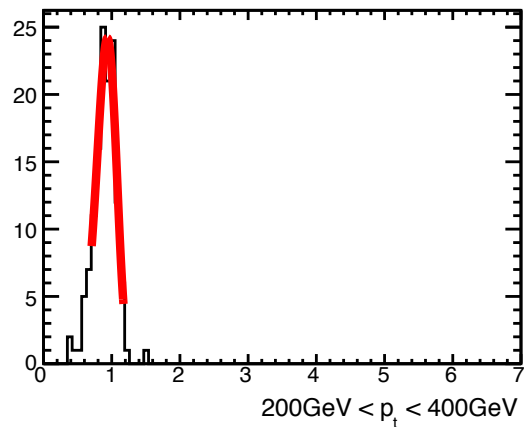
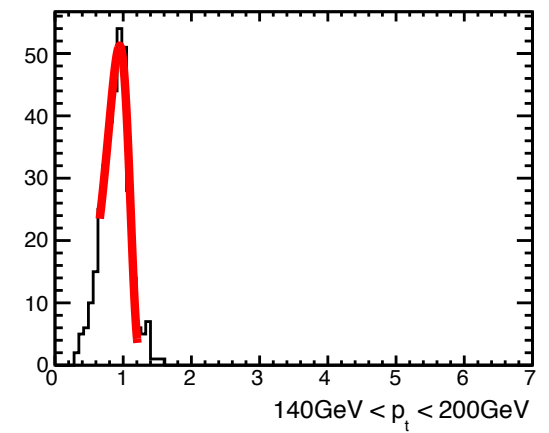
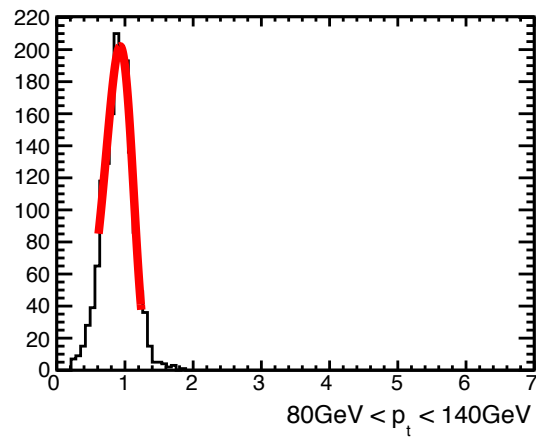
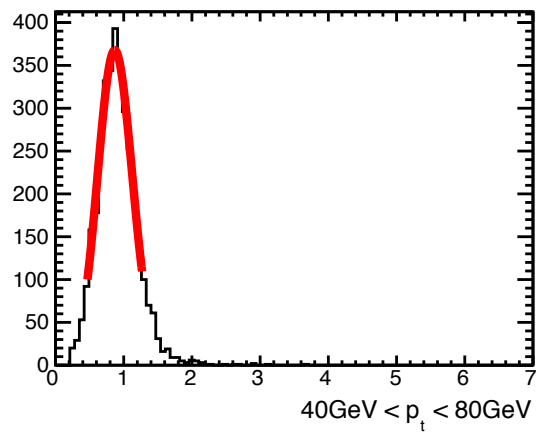
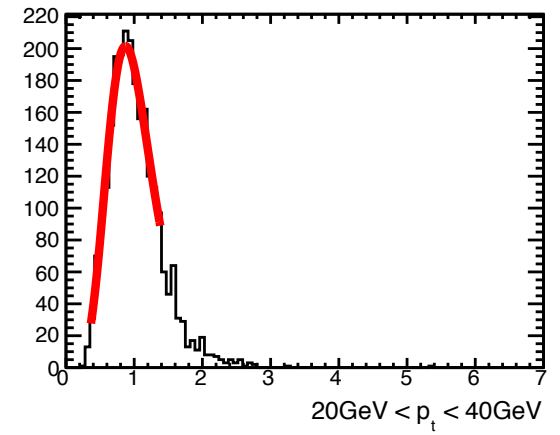
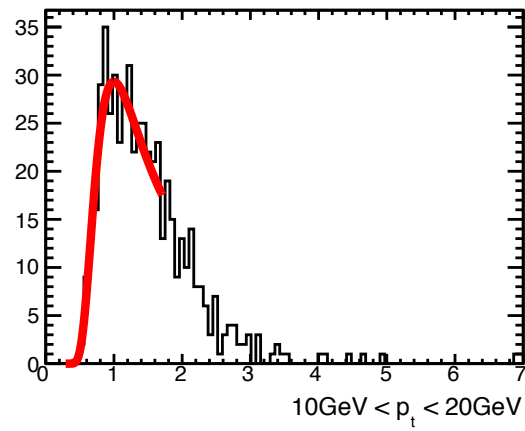
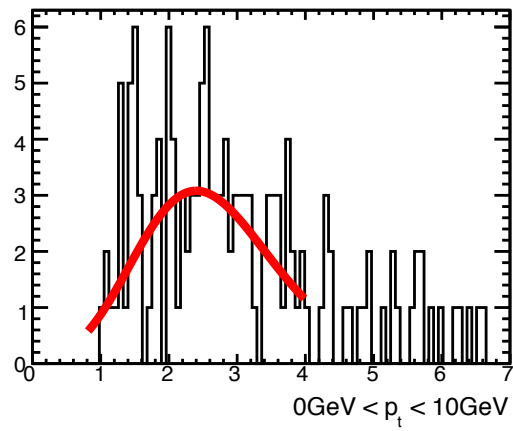
31,Oct, Naoyuki Kamo

- Z+jetの作業の流れ (code自体はほぼ出来ている)
- dataでのresponse ← この絵を載せてある
- mcでのresponse (powheg pythiaとsherpa)
- (GSCを適用する)
- dataとmcでの比率を出す
- 上の値のb-tagを要求した場合との比率を出す
- skimming作業 : NTUP\_COMMON.r4065\_p1278\_p1562  
でやり直している (サイトが動いているので)

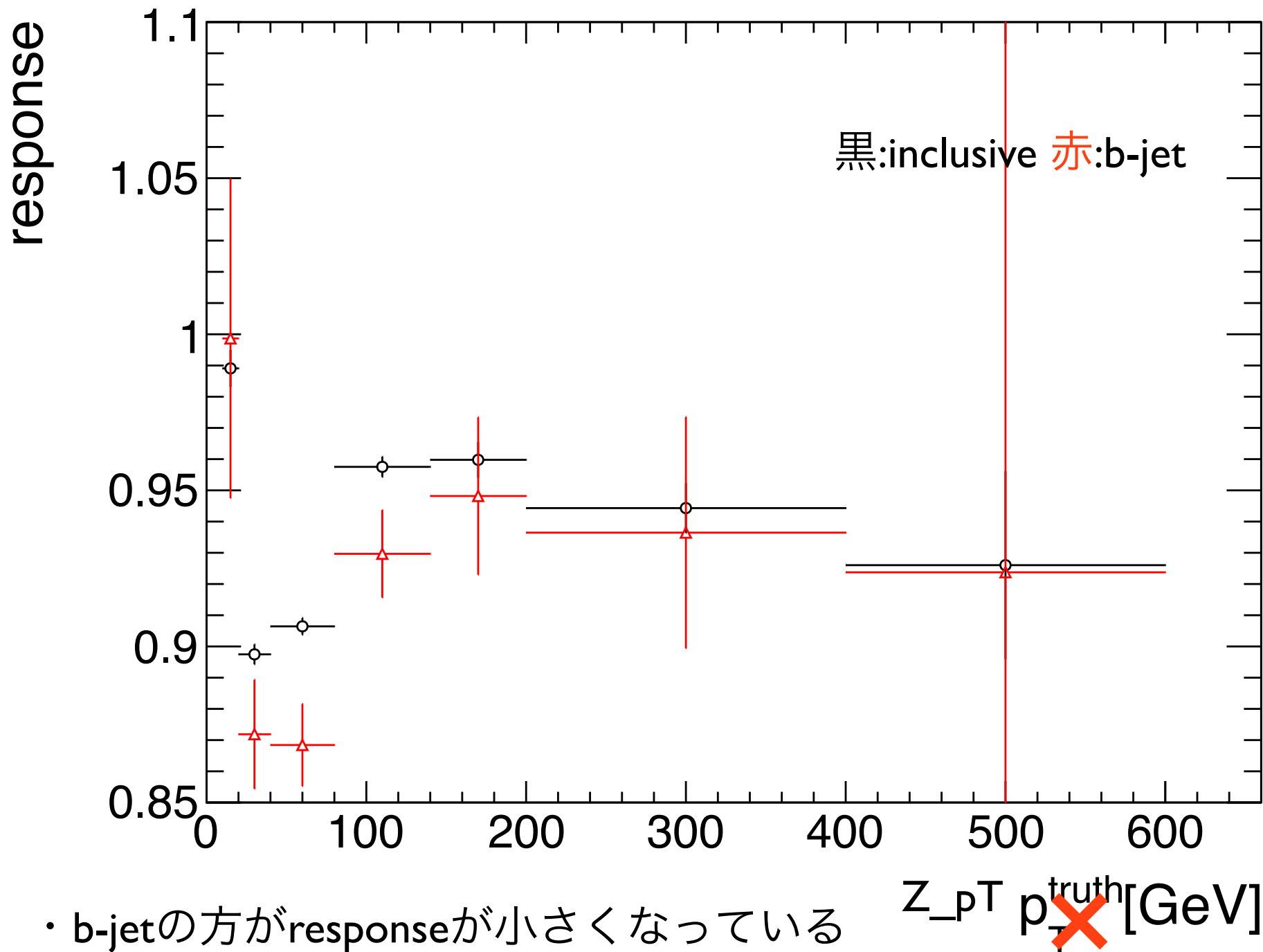
# Z + jet で response histogramへのfit (b-tagなし)



# Z + jet で response histogramへのfit (b-tagあり)



前ページの絵のmeanをgraphにしたもの



# すこし考えていること

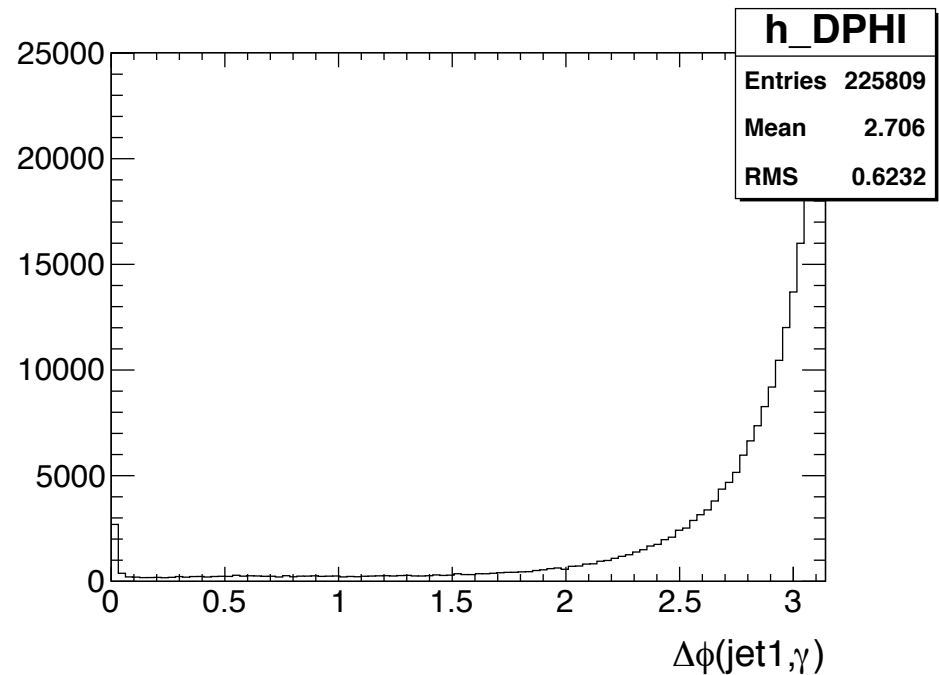
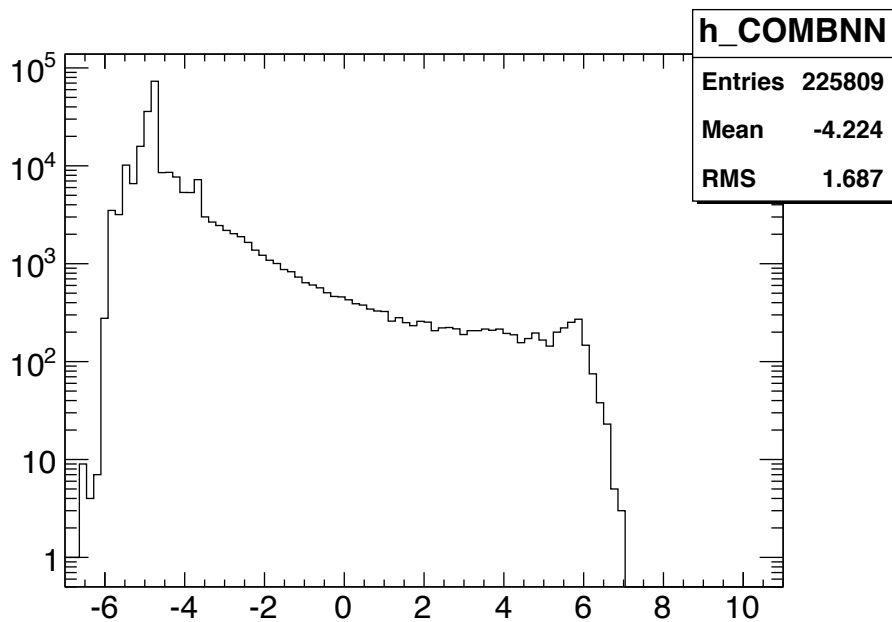
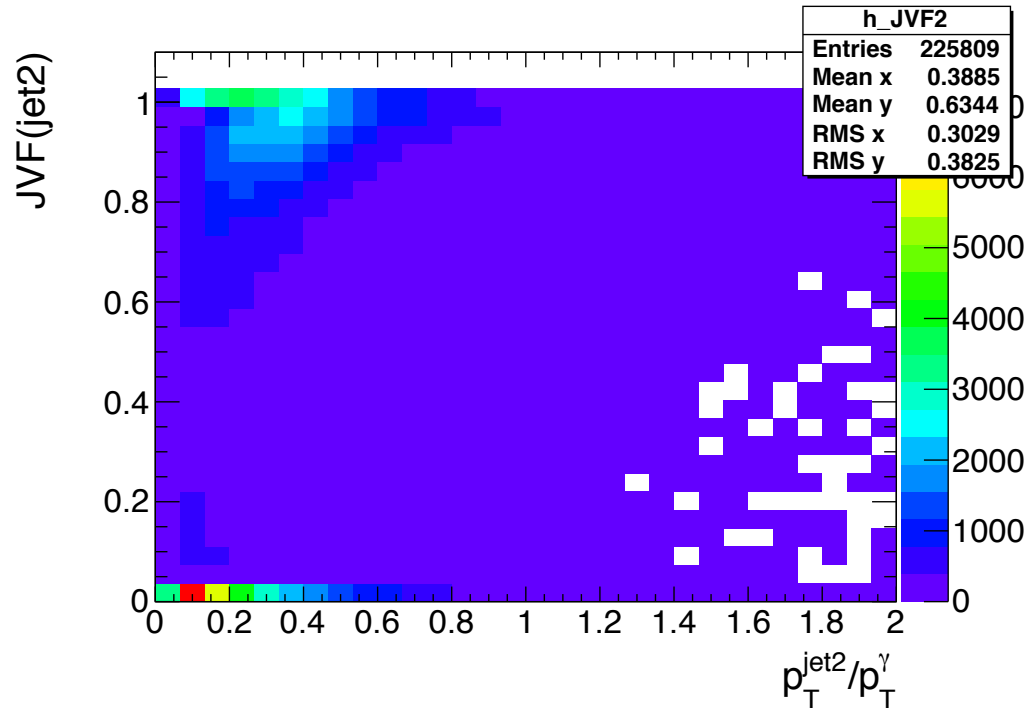
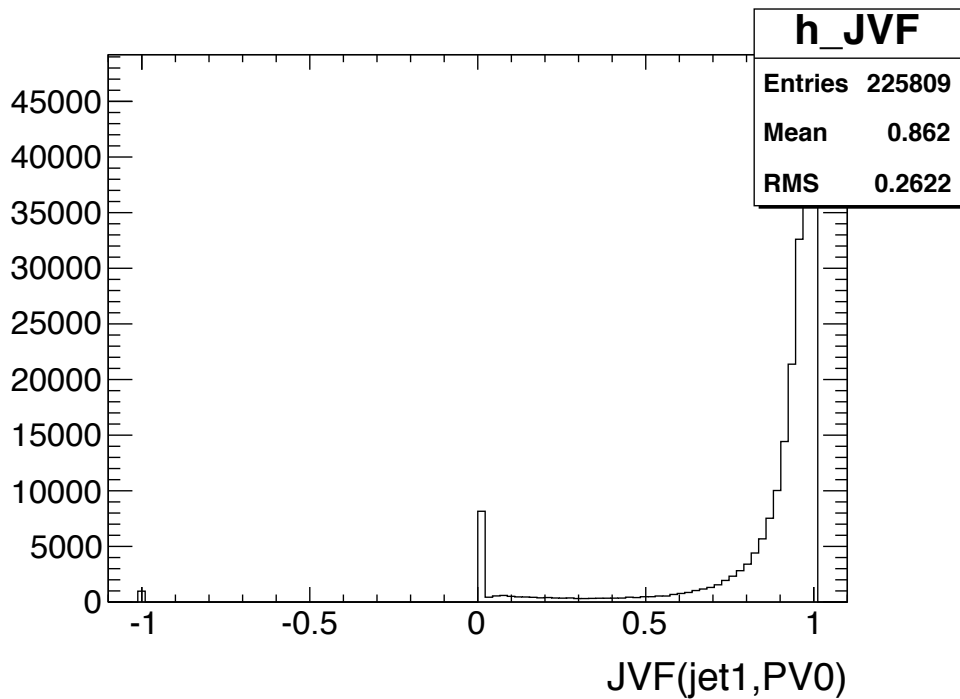
- 今のJESのcalibrationの流れは全体としては
  - mc dijet によるtruth情報を使ったcalibration
  - dataを使ったZ+ jet, $\gamma$ +jetでlow pTのcalibration
  - dataを使ったmulti jet balanceでhigh pTのcalibration
- Z+ jet, $\gamma$ +jetではMVI等のb-tagを使用するので、mc dijetでもMVIを使用すべきでは？
  - MVI以外の変数を色々変えてuncertaintyを出したい
- やはりb-jetを要求したときのresponseは意味がある気がしてきた
  - GSCも適当な変数とresponseの分布を見て補正をしているだけなのだから、考え方としてはそんなに変わらないと思う
    - MVIそのものが多変量解析から得ているので気持ち悪いが
- inclusiveなjetはin-situ calibrationできちんとcalibrationできていると仮定して、dijet balanceで一方をb-jet,一方をそれ以外とすればb-jetのcalibrationができないか

**back up**

# $\gamma + \text{jet}$ の各cut後の統計推移

$\gamma$	188572	463157	553363	832264	357538	61965	781	
$\gamma + 1\text{jet}$	52222	184419	198287	309114	140479	27222	396	
other cuts	10990	33393	44967	83655	42618	9975	201	
$\Delta\phi > 2.9$	1458	11214	22989	51698	27946	6997	147	
$p_T^{\text{jet2}}/p_T^Z < 0.2$	321	6662	14151	33311	19078	5092	117	
COMBNN $> 0.8119$	5	166	654	1822	985	233	4	
	0	10	20	40	80	140	200	400

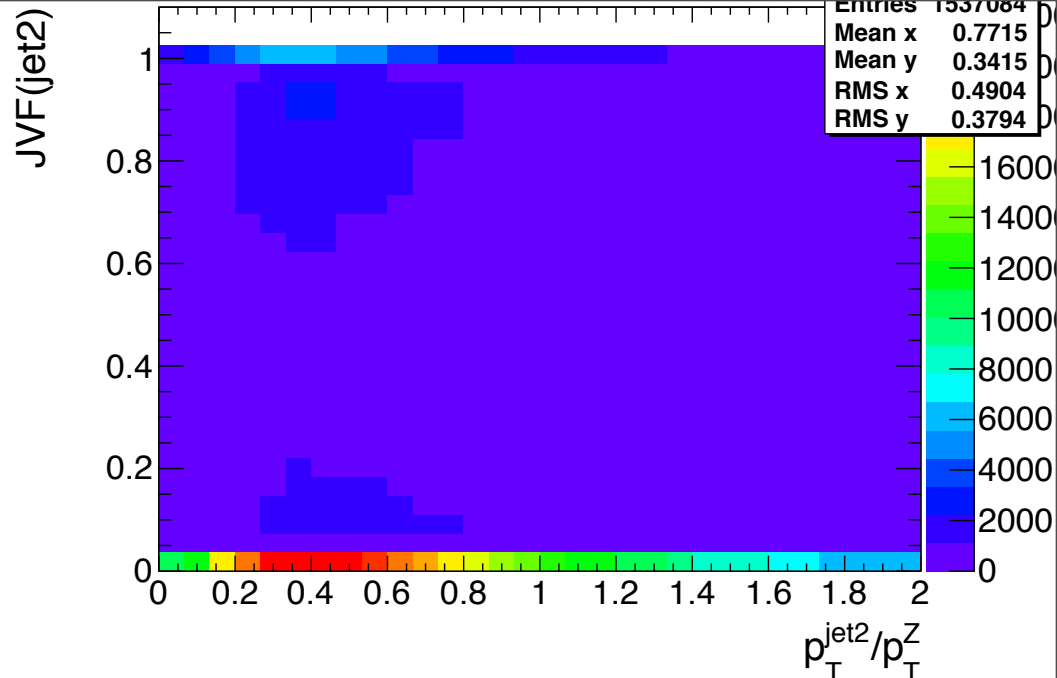
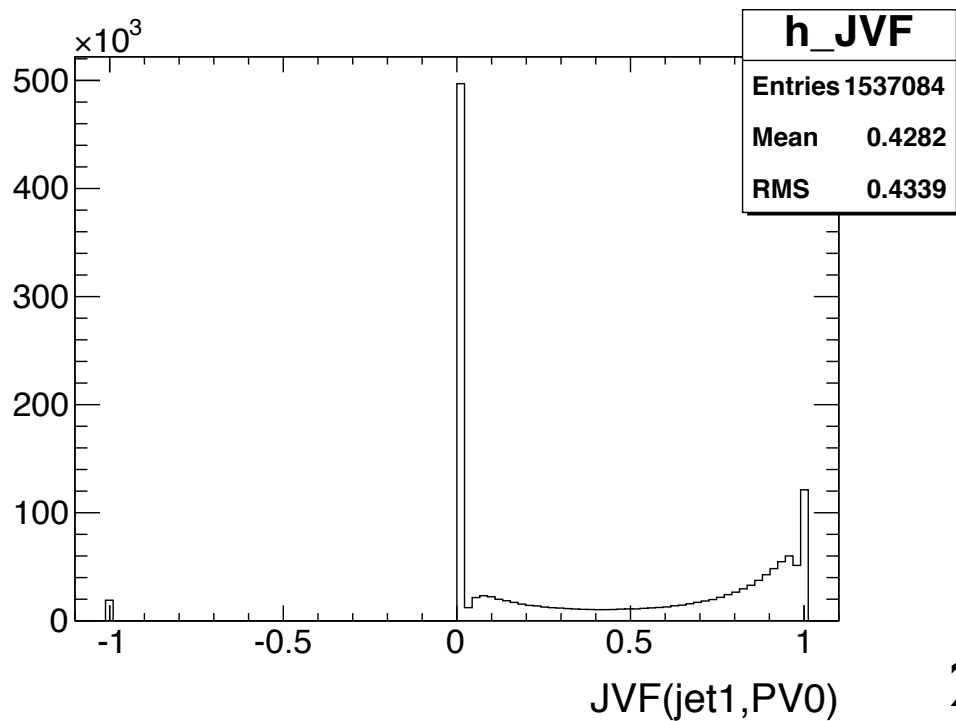
$p_T^Z$  [GeV]



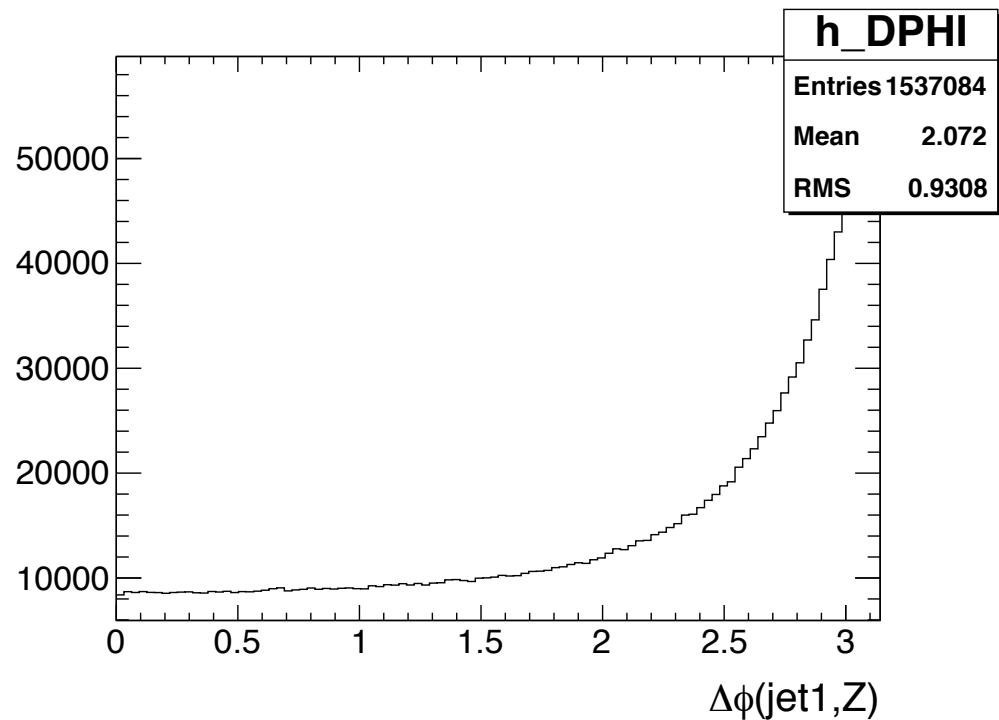
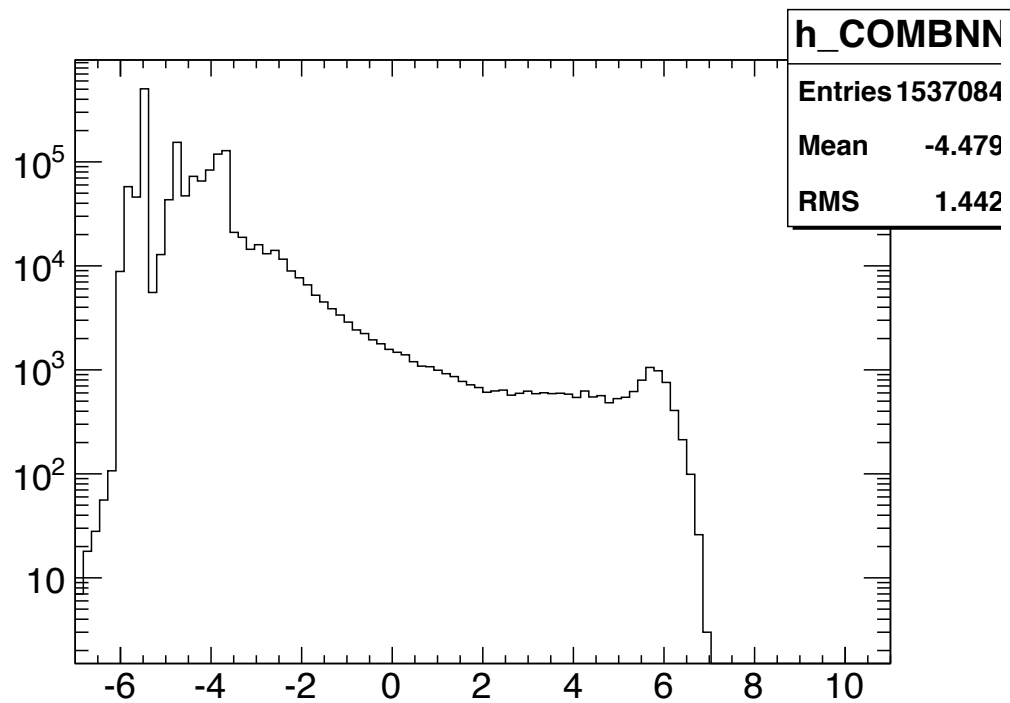
# Zee + jetの各cut後の統計推移

Z	2.06477e+06	2.1415e+06	897947	458390	123572	21850	8009	339
Z + 1jet	2.03656e+06	2.20709e+06	897131	458368	123572	21850	8009	339
other cuts	588713	394562	364707	223121	67385	12764	5111	216
$\Delta\phi > 2.9$	42898	52803	107006	101445	36893	7775	3352	160
$p_T^{\text{jet}2}/p_T^Z < 0.2$	37236	43838	85098	72750	25630	5607	2501	112
COMBNN > 0.8119	173	540	2449	3457	1517	346	133	6
	0	10	20	40	80	140	200	400

$p_T^Z$  [GeV]



2nd jetのJVFがほとんど0なのが気になる



- Z+jetが最初の予想よりかなり多くなっている。
- b-jetにmuonを要求できるかもしれない。
- ただ、以前の結果でmcではmuonとtruth particleの対応は完全にはできないことがわかっていてる。
- muonに対応するのは10%程度で、後は主に pionが占める。1,2割は対応が完全につかない。

# Z + jet

- el\_medium++ , mu\_medium
- $\Delta R(\text{jet}, \text{el\_medium++}) < 0.1$  のjetはelectronとする
- Trigger(zee): EF\_e12Tvh\_loose1 (multi-electron , unprecaled)
- Trigger(zmumu): EF\_mu24i\_tight || EF\_mu36\_tight
- B-tag :  $M_{VI} > 0.8 || 9$  (nominal efficiency 70%)

Variable	Selection	description
$e_1, e_2$	$E_T^{e_{1,2}} > 20 \text{ GeV}$ $80 \text{ GeV} < M_{e^+e^-} < 116 \text{ GeV}$ $ \eta^{e_{1,2}}  < 2.47$ excluding $1.37 <  \eta^e  < 1.52$	electron pre-selection
leading jet	$ \eta^{\text{jet}}  < 0.8,  JVF  > 0.25$ if $p_T < 50 \text{ GeV}$	jet pre-selection
$\Delta R_{j,e} = \sqrt{(\Delta\eta)^2 + (\Delta\phi)^2}$	$> 0.35$ anti- $k_t$ $R = 0.4$ jets $> 0.5$ anti- $k_t$ $R = 0.6$ jets	isolation/topology
$p_T^{\text{jet}2}$	$< \max(0.2 \times p_T^Z, 10 \text{ GeV})$	radiation/topology
JVF(jet2)	$> 0.25,$ if $ \eta^{\text{jet}2}  < 2.4$ and $p_T < 50 \text{ GeV}$	JVF restriction for sub-leading jets

# gamma+ jet

- $\Delta R(\text{jet}, \text{gamma}) < 0.1$  の jet は gamma とする (ただし gamma は下表の条件を満たす)。
- Trigger: EF\_g20\_loose || EF\_g40\_loose || EF\_g60\_loose || EF\_g80\_loose || EF\_g100\_loose || EF\_g120\_loose
- B-tag :  $MV1 > 0.8119$  (nominal efficiency 70%)
- selection については <https://twiki.cern.ch/twiki/bin/viewauth/AtlasProtected/GammaJetCalib2012> に詳しく書いてある

[AtlasProtected/GammaJetCalib2012](https://twiki.cern.ch/twiki/bin/viewauth/AtlasProtected/GammaJetCalib2012) に詳しく書いてある

Variable	Selection	description
leading $\gamma$	<del><math>p_T^\gamma &gt; 85 \text{ GeV}</math></del> and $ \eta^\gamma  < 1.37$	photon pre-selection
$E_T^{\gamma \text{ Iso}}$	$< 3 \text{ GeV}$	$\gamma$ isolation
$E_T^{\gamma \text{ cluster}} / (\sum p_T^{\text{tracks}})$	$\in [0, 2]$ (single-track conversions) $\in [0.5, 1.5]$ (double-track conversions)	jets faking photons
leading jet	$p_T^{\text{jet}} > 12 \text{ GeV}$ and $ \eta^{\text{jet}1}  < 0.8$	jet pre-selection
$\Delta\phi_{\text{jet}-\gamma}$	$> 2.9$ radians	radiation suppression
$p_T^{\text{jet}2}$	$< 0.2 \times p_T^\gamma$	radiation suppression
JVF(jet2)	$> 0.25$ , if $ \eta^{\text{jet}2}  < 2.4$	JVF restriction for sub-leading jets

※  $p_T\_\text{gamma} > 85 \text{ GeV}$  は要求していない